

Photo receiver.

Patent number: EP0272384
Publication date: 1988-06-29
Inventor: DAMBKES HEINRICH DR-ING; KONIG ULF DR-ING;
HASPEKLO HORST DR RER NAT
Applicant: LICENTIA GMBH (DE)
Classification:
- international: H01L27/14; G02B6/12; H01L31/02
- european: G02B6/12D, H01L31/105, H01L27/144B, H01L29/778E2
Application number: EP19870113672 19870918
Priority number(s): DE19863644410 19861224

Also published as:

DE3644410 (A1)
EP0272384 (B1)

Cited documents:

US4136928
EP0133709
EP0064829
CA980451

Abstract of EP0272384

The invention relates to a monolithically integrated photoreceiver comprising at least one p-i-n photodiode with coupled optical waveguide and at least one HEMT. The heterostructure of the photoreceiver is such that the semiconductor layers of the waveguide are a component of the p-i-n photodiode.

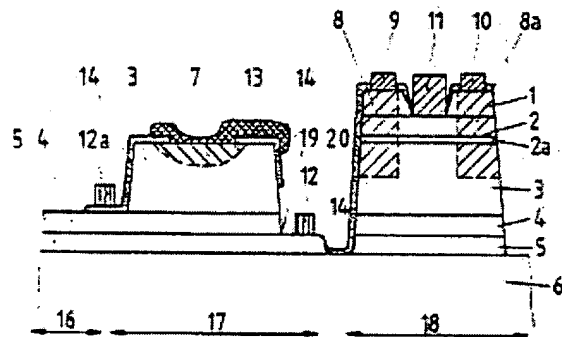
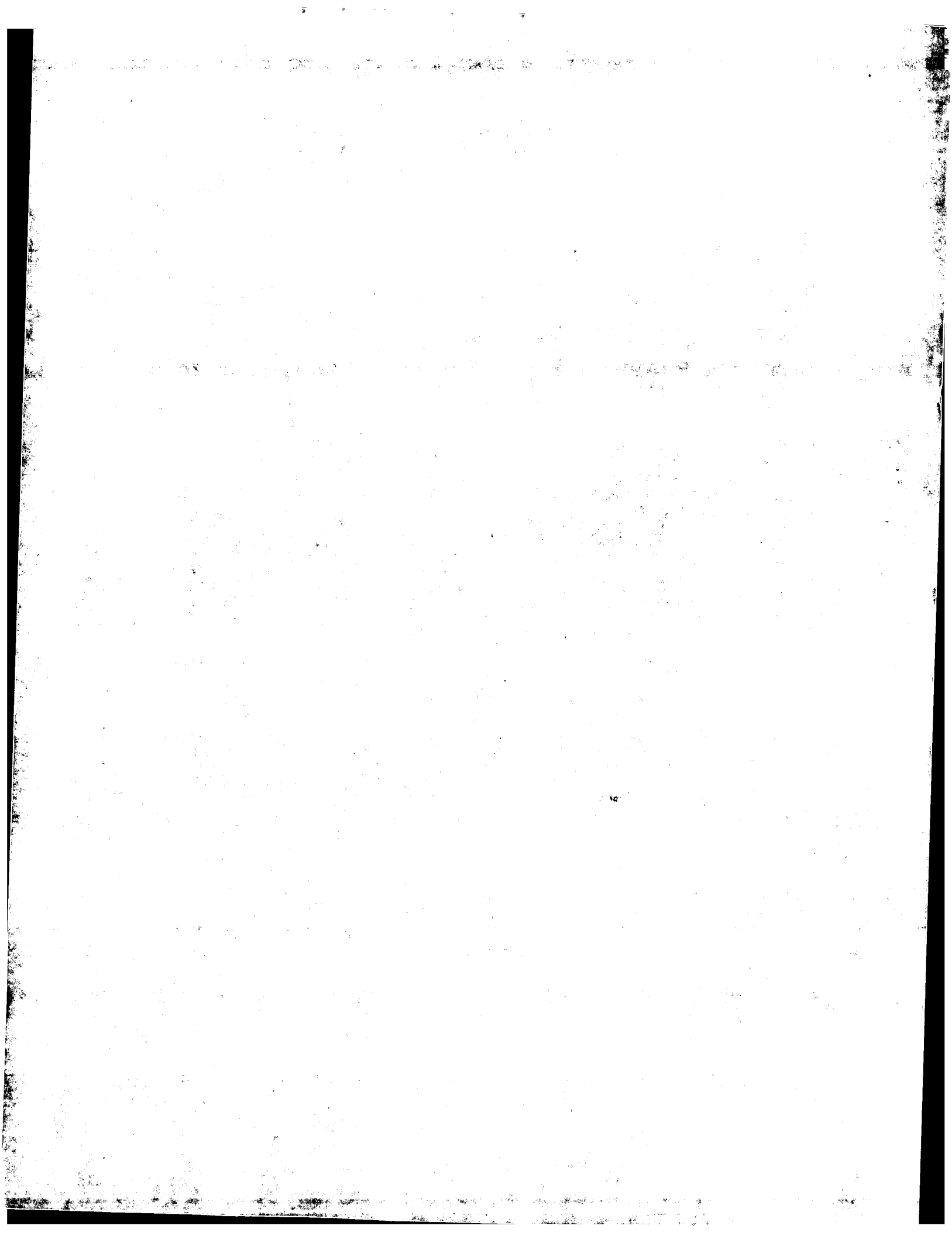


FIG. 3

Data supplied from the esp@cenet database - Worldwide





Europäisches Patentamt
European Patent Office
Office européen des brevets

Veröffentlichungsnummer:

**0 272 384
A1**

(12)

EUROPÄISCHE PATENTANMELDUNG

(21) Anmeldenummer: 87113672.7

(51) Int. Cl.⁴ **H01L 27/14**, **G02B 6/12**,
H01L 31/02

(22) Anmeldetag: 18.09.87

(30) Priorität: 24.12.86 DE 3644410

(43) Veröffentlichungstag der Anmeldung:
29.06.88 Patentblatt 88/26

(84) Benannte Vertragsstaaten:
DE FR GB

(71) Anmelder: Licentia Patent-Verwaltungs-GmbH
Theodor-Stern-Kai 1
D-6000 Frankfurt/Main 70(DE)

(72) Erfinder: Dämbkes, Heinrich, Dr.-Ing.
Stäudlenweg 29
D-7900 Ulm(DE)
Erfinder: König, Ulf, Dr.-Ing.
Sculdetusweg 2
D-7900 Ulm(DE)
Erfinder: Haspeklo, Horst, Dr.rer.nat.
Lindenweg 12
D-7915 Elchingen(DE)

(74) Vertreter: Schulze, Harald Rudolf, Dipl.-Ing.
Licentia Patent-Verwaltungs-GmbH
Theodor-Stern-Kai 1
D-6000 Frankfurt/Main 70(DE)

(54) Photoempfänger.

(57) Die Erfindung betrifft einen monolithisch integrierten Photoempfänger bestehend aus mindestens einer PIN-Photodiode mit angekoppeltem Wellenleiter und zumindest einem HEMT. Die Heterostruktur des Photoempfängers ist derart aufgebaut, daß die Halbleiterschichten des Wellenleiters Bestandteil der PIN-Photodiode sind.

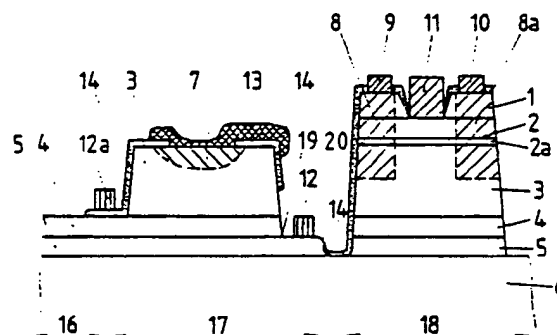


FIG. 3

Xerox Copy Centre

EP 0 272 384 A1

"Photoempfänger"

Die Erfindung betrifft einen monolithisch integrierten Photoempfänger nach dem Oberbegriff des Patentanspruchs 1. Photoempfänger gemäß der Erfindung sind für Meß- oder Nachrichtenübertragungssysteme geeignet. Vorbekannte Lösungen von monolithisch integrierten optoelektronischen Empfängerschaltungen sind beispielsweise eine Kombination einer PIN-Photodiode und eines JFET (Junction Field Effect Transistor) auf InGaAs Basis (Lit.: R.E.Nahory, R.F.Leheny, Proc.Soc.Photo-Optical Instrum. Eng. 272, S.32-35, 1981) oder eine Kombination einer PIN-Photodiode und eines Heterobipolartransistor aus InP/InGaAsP-Verbindungen. Die PIN-Photodioden sind jedoch lediglich für senkrecht zur Halbleiterschichtenfolge eingestrahktes Licht empfindlich und die Ankopplung eines optischen Wellenleiter kann nur hybrid erfolgen. Diese optischen Empfängerschaltungen haben den Nachteil, daß sie lange Schaltzeiten und hohe Rauschzahlen besitzen. Die hybride Ankopplung des Wellenleiters hat außerdem einen hohen optischen Leistungsverlust zur Folge.

Der Erfindung liegt daher die Aufgabe zugrunde, einen schnellschaltenden und rauscharmen monolithisch integrierten Photoempfänger anzugeben, an den ein optischer Wellenleiter durch monolithische Integration angekoppelt ist.

Diese Aufgabe wird gelöst durch die im kennzeichnenden Teil des Patentanspruchs 1 angegebenen Merkmale. Vorteilhafte Ausgestaltungen und Weiterbildungen sind den Unteransprüchen entnehmbar.

Die monolithisch integrierte optische Empfängerschaltung ist für einen in der Lichtleitfasertechnik nützlichen Wellenlängenbereich λ von vorzugsweise $0,8 \leq \lambda \leq 1,55 \mu\text{m}$ geeignet.

Ein Vorteil der Erfindung besteht darin, daß durch die monolithische Integration von Wellenleiter, optischem Empfänger und dazugehörigem Verstärker ein geringerer Leistungsverlust auftritt als bei einer hybriden Bauweise. Außerdem ist das Herstellungsverfahren einer monolithisch integrierten Empfängerschaltung gemäß der Erfindung dank gemeinsamer Nutzung der Halbleiterschichten in den Einzelbauelementen Wellenleiter, Photodiode, Verstärker wesentlich einfacher und kostengünstiger als die hybride Bauform.

Die Erfindung wird im folgenden anhand von Ausführungsbeispielen unter Bezugnahme auf schematische Zeichnungen näher erläutert. Die Figuren 1a, 1b, 1c zeigen Querschnitte von unterschiedlichen Ausführungsformen von optischen Wellenleitern und den Brechungsindexverlauf in den Halbleiterschichten für parallel zu den

Halbleiterschichten eingestrahktes Licht.

Fig. 2 zeigt eine Aufsicht auf eine mesa-geätzte, monolithisch integrierte Empfängerschaltung aus einer PIN-Photodiode 17 mit angekoppeltem Wellenleiter 16 und einem HEMT (High Electron Mobility Transistor) 18.

Die Figuren 3 bis 7 zeigen Längsschnitte von verschiedenen Ausführungsformen von PIN-HEMT-Photoempfängern mit angekoppeltem Wellenleiter. PIN-HEMT-Photoempfänger ist eine Kurzbezeichnung für eine optische Empfängerschaltung, die aus einer PIN-Photodiode und einem HEMT besteht.

Die Erfindung beruht darauf, daß unterhalb eines optischen Empfängers ein Wellenleiter seitlich angekoppelt wird, derart, daß die Halbleiterschichten des Wellenleiters auch Bestandteil des optischen Empfängers sind. Es entsteht ein stufenartiger Aufbau, da der Wellenleiter lediglich aus zwei Halbleiterschichten und der optische Empfänger aus mindestens drei Halbleiterschichten besteht. Der optische Empfänger ist vorteilhafterweise eine PIN-Photodiode 17 mit hohem Quantenwirkungsgrad. Der dazugehörige Feldeffekttransistor ist als HEMT (High Electron Mobility Transistor) 18 ausgebildet, der für eine schnelle elektronische Signalverarbeitung geeignet ist. PIN-Photodiode 17 und HEMT 18 sind entweder in Mesabauweise (Fig. 3) oder quasi-planar (Fig. 4) oder planar (Fig. 5 und Fig. 6) angeordnet. Im Fall der optischen Signalverarbeitung, z.B. Multiplexen oder Demultiplexen, besteht die integrierte optische Empfängerschaltung aus mehreren PIN-Photodioden mit angekoppelten Wellenleitern. Außerdem schließt die Erfindung die monolithische Integration von mehreren HEMT zur Bildung eines Vorverstärkers mit ein. In den Ausführungsbeispielen werden jedoch aus Gründen der Übersichtlichkeit lediglich Kombinationen einer PIN-Photodiode 17 mit angekoppeltem Wellenleiter 16 und einer HEMT 18 beschrieben.

Der erfindungsgemäße Photoempfänger ist so aufgebaut, daß das einfallende Licht parallel zu den Halbleiterschichten an die PIN-Photodiode 17 herangeführt wird. Die in den Ausführungsbeispielen angegebene Heterostruktur-Halbleiterschichtenfolge besteht aus mindestens fünf unterschiedlichen Halbleiterschichten. Die auf das Substrat 6 aufgewachsenen ersten beiden Halbleiterschichten 5,4 sind für die Lichtleitung ausgebildet. Deshalb sind im Bereich des Wellenleiters 16 bis auf die erste Halbleiterschicht 5 und die lichtführende Halbleiterschicht 4 alle weiteren Halbleiterschichten entfernt.

Um das Licht lediglich in der Halbleiterschicht 4 zu führen, besitzt die erste Halbleiterschicht 5

der Heterostruktur einen kleineren Brechungsindex als die darauf aufgewachsene, lichtführende Halbleiterschicht 4. Um eine geeignete Ankopplung des Wellenleiters 16 an die PIN-Photodiode 17 zu ermöglichen ist der Bereich, in dem das Licht in der Halbleiterschicht 4 geführt wird, räumlich begrenzt. Diese seitliche Begrenzung A, B des Lichtes in der Halbleiterschicht 4 erreicht man durch eine Änderung des Brechungsindex: der Brechungsindex muß in der Halbleiterschicht 4 seitlich abnehmen. Der optische Wellenleiter 16 kann deshalb unterschiedlich ausgebildet sein:

a) Die lichtführende Halbleiterschicht 4 ist mesa-geätzt, so daß der Brechungsindex n zum optisch dünneren Medium Luft abnimmt (Fig. 1a).

b) Auf die lichtführende Halbleiterschicht 4 ist ein Oxidstreifen 14a aufgebracht. An der Grenzfläche Halbleiterschicht/Oxidschicht 4, 14a wird dadurch eine mechanische Spannung erzeugt, die den Brechungsindex n der lichtführenden Halbleiterschicht 4 am Rand des Oxidstreifens 14a verringert (Fig. 1b).

c) In die lichtführende Halbleiterschicht 4 sind hochdotierte Zonen 15 implantiert, die einen kleineren Brechungsindex n besitzen als die lichtführende Halbleiterschicht 4 (Fig. 1c).

d) Auf die lichtführende Halbleiterschicht 4 ist ein metallischer Streifen aufgebracht, an den eine elektrische Spannung angelegt wird. Durch die elektrische Spannung wird im Bereich des metallischen Streifens der Bandabstand der Halbleiterschicht 4 verringert und somit der Brechungsindex n erhöht.

Gemäß den Figuren 3 bis 6 sind die erste Halbleiterschicht 5 und die darauf aufgewachsene lichtführende Halbleiterschicht 4 gemeinsamer Bestandteil des Wellenleiters 16 und der PIN-Photodiode 17. Die erste Halbleiterschicht 5 sorgt für optisches Confinement und dient gleichzeitig als leitende Kontaktschicht für eine niedrig dotierte Halbleiterschicht 3, die auf die Halbleiterschicht 4 aufgewachsen ist. Alternativ oder zusätzlich zur ersten Halbleiterschicht 5 kann eine n -dotierte Halbleiterschicht 3a oberhalb der lichtführenden Halbleiterschicht 4 angeordnet werden (Fig. 7). Dotierung und Bandabstand dieser Halbleiterschicht 3a sind so abgestimmt, daß sie einen Brechungsindex zwischen dem des Wellenleiters und dem der absorbierenden Halbleiterschicht 3 besitzt, um das Auskoppeln des geführten Lichtes an die Photodiode nicht zu beeinträchtigen. Die n -dotierte Halbleiterschicht 3a besitzt eine Dotierkonzentration von 10^{17} bis $5 \cdot 10^{18} \text{ cm}^{-3}$ und eine Schichtdicke von $0,5 \mu\text{m}$. Als Halbleitermaterial ist beispielsweise GaInAsP für die Halbleiterschicht 3a geeignet. Die zweite Elektrode 12 der PIN-Photodiode 17 kontaktiert die n -dotierte Halbleiterschicht 3a. Ist die n -dotierte Halbleiterschicht 3a

zusätzlich zur ersten Halbleiterschicht 5 aufgebracht, so dient die erste Halbleiterschicht 5 lediglich als Pufferschicht zwischen Substrat 6 und der folgenden Heterostruktur.

Die Halbleiterschicht 3 ist als Absorptionsschicht der PIN-Photodiode 17 für das in der Halbleiterschicht 4 geführte Licht ausgebildet. Um das in der Halbleiterschicht 4 parallel geführte Licht fast vollständig ($< 90\%$) im Bereich der PIN-Photodiode 17 auszukoppeln, ist der Brechungsindex der absorbierenden Halbleiterschicht 3 größer als der lichtführenden Halbleiterschicht 4. Da eine hohe Dotierung eine Verringerung des Brechungsindex bewirkt, ist die absorbierende Halbleiterschicht 3 schwach dotiert.

Damit die einzelnen Bauelemente des erfindungsgemäßen Photoempfängers aus einer Heterostruktur aufgebaut werden können, müssen die Halbleiterschichten für die einzelnen Bauelemente kompatibel sein. In den Ausführungsbeispielen sind verschiedene Alternativen für die Heterostruktur und die Bauformen des Photoempfängers angegeben.

In Ausführungsbeispiel 1 ist auf einem halbisolierenden Substrat 6, das z.B. aus InP besteht, eine Heterostruktur-Halbleiterschichtenfolge aus

- einer ersten n -dotierten Halbleiterschicht 5 aus InAlAs oder InAlAsP oder InGaAsP oder InP mit einer Ladungsträgerkonzentration von ungefähr 10^{17} bis $5 \cdot 10^{18} \text{ cm}^{-3}$ und einer Schichtdicke von etwa $0,2$ bis $2 \mu\text{m}$,
- einer n -dotierten Halbleiterschicht 4 aus InAlAs oder InAlAsP oder InGaAsP mit einer Ladungsträgerkonzentration von ungefähr 10^{15} bis 10^{17} cm^{-3} und einer Schichtdicke von etwa $0,2$ bis $2 \mu\text{m}$,
- einer n -dotierten Halbleiterschicht 3 aus InGaAs mit einer Ladungsträgerkonzentration von 10^{14} bis 10^{16} cm^{-3} und einer Schichtdicke von etwa 2 bis $3 \mu\text{m}$,
- einer undotierten Halbleiterschicht 2a aus InAlAs oder InP oder InGaAsP mit einer Schichtdicke von weniger als 20 nm ,
- einer n -dotierten Halbleiterschicht 2 aus InAlAs oder InAlAsP oder InP mit einer Ladungsträgerkonzentration von 10^{17} bis 10^{18} cm^{-3} und einer Schichtdicke von 20 bis 100 nm ,
- einer n -dotierten Halbleiterschicht 1 mit einer Ladungsträgerkonzentration von 1 bis $6 \cdot 10^{18} \text{ cm}^{-3}$ und einer Schichtdicke von ungefähr 10 bis 100 nm aufgewachsen.

Die Bezeichnung "+" bedeutet eine hohe und die Bezeichnung "-" eine niedere Dotierkonzentration der jeweiligen Halbleiterschicht.

Gemäß Fig. 3 sind im Bereich des Wellenleiters 16 die Halbleiterschichten 1 bis 3 und im Bereich der PIN-Photodiode die Halbleiterschichten 1,2,2a, weggeätzt. PIN-Photodiode 17 und HEMT

18 sind in Mesabauform angeordnet. In die n-dotierte Halbleiterschicht 3 der PIN-Photodiode 17 ist ein p-leitendes Gebiet 7 mit z.B. Mg oder Be implantiert, das eine Tiefe von etwa 0,1 bis 0,5 Mm und eine Ladungsträgerkonzentration von 10^{17} bis 10^{19} cm^{-3} besitzt. Durch einen anschließenden kurzzeitigen Temperprozeß von ungefähr 10 Sekunden werden die durch die Implantation im Kristall entstandenen Schäden ausgeheilt. Eine erste Elektrode 13 der PIN-Photodiode 17 ist auf das p-implantierte Gebiet 7 aufgebracht. Eine zweite Elektrode 12 der PIN-Photodiode 17 kontaktiert die n-dotierte Halbleiterschicht 5.

Die zweite Elektrode 12 ist beispielsweise rechteckig ausgebildet und umschließt die mesa-geätzte PIN-Photodiode 17 gemäß Fig. 2. Mittels einer Kontaktbrücke 12a wird die Elektrode 12 über den Wellenleiter 16 geführt. Eine Isolierschicht 14 verhindert den Kontakt zwischen der n-dotierten Halbleiterschicht 4 und der Elektrode 12 im Bereich der Kontaktbrücke 12a. Die Bezugszeichen 19, 20 in den Fig. 2 und 3 bezeichnen die Mesakanten der PIN-Photodiode 17.

Um Licht in der Halbleiterschicht 4 zu führen muß die erste Halbleiterschicht 5 einen größeren Bandabstand oder was gleichbedeutend ist, einen kleineren Brechungsindex besitzen als die lichtführende Halbleiterschicht 4. Für die im Ausführungsbeispiel 1 angegebene Heterostruktur kann beispielsweise die lichtführende Halbleiterschicht 4 aus InAlAs und die erste Halbleiterschicht 5 aus InAlAsP aufgebaut sein. Sind beide Halbleiterschichten 4,5 aus der gleichen Halbleiterverbindung aufgebaut, so müssen die Anteile der Elemente der Halbleiterverbindung unterschiedlich gewählt werden; besteht beispielsweise die lichtführende Halbleiterschicht 4 aus $\text{In}_{1-x}\text{Ga}_x\text{P}_{1-y}\text{As}_y$ und die erste Halbleiterschicht 5 aus $\text{In}_{1-x}\text{Ga}_x\text{P}_{1-z}\text{As}_z$ so muß $z < y$ sein. Außerdem erreicht man durch eine höhere Dotierkonzentration der ersten Halbleiterschicht 5 einen kleineren Brechungsindex.

Source- und der Drain-Anschluß 9,10 des HEMT 18 mit einer Heterostruktur gemäß Ausführungsbeispiel 1 sind auf n-implantierten Gebieten 8,8a angebracht, die senkrecht zu den Halbleiterschichten 1,2,2a und 3 verlaufen. Source- und Drain-Anschluß 9,10 sind sperrfreie metallische Kontakte, die über die n-leitenden Gebiete 8,8a mit dem zweidimensionalen Elektronengas an der Grenzfläche 2a, 3 verbunden sind. Im Bereich des Gate-Anschlusses 11 des HEMT 18 ist die n-dotierte Halbleiterschicht 1 entfernt und der sperrende metallische Kontakt ist auf die n-dotierte Halbleiterschicht 2 aufgebracht.

Im Ausführungsbeispiel 2 ist der Photoempfänger aus der gleichen Heterostruktur-Halbleiterschichtenfolge und der gleichen PIN-Photodiode 17 aufgebaut wie im Ausführungsbeispiel

1. Jedoch ist in die n-dotierte Halbleiterschicht 1 im Bereich des HEMT 18 ein p-leitendes Gebiet 7a implantiert, auf das der Gate-Anschluß 11 des HEMT 18 aufgebracht ist (Fig. 4).

In den Ausführungsbeispielen 1 und 2 sind PIN-Photodiode 17 und HEMT 18 entweder in Mesabauweise (Fig. 3) oder quasi-planar (Fig. 4) angeordnet. In der quasi-planaren Anordnung ist die zweite Elektrode 12b der PIN-Photodiode 17 über ein n-leitendes Gebiet 22 mit der n-dotierten Halbleiterschicht 5 bzw. 3a verbunden. Außerdem werden durch Implantation, z.B. mit Fe, oder durch geeignete Ätzverfahren und nachfolgende Auffülltechniken, z.B. mit Polyimid, Isolationsgebiete 21,21a erzeugt. Ein erstes Isolationsgebiet 21 trennt die Elektroden 12b, 13 der PIN-Photodiode 17. Ein zweites Isolationsgebiet 21a ist zwischen PIN-Photodiode 17 und HEMT 18 eingebracht. (Fig. 4).

Die Funktionsweise eines PIN-HEMT-Photoempfängers ohne angekoppelten Wellenleiter jedoch mit ähnlichem Aufbau wie in den Ausführungsbeispielen 1 und 2 ist in der nicht veröffentlichten deutschen Patentanmeldung P 36 29 682 beschrieben.

Im Ausführungsbeispiel 3 sind die Halbleiterschichten 2 bis 5 analog dem Ausführungsbeispiel 1 gewählt. Die Halbleiterschicht 1 ist jedoch p-leitend und besteht aus InP oder InGaAsP. Die Ladungsträgerkonzentration beträgt 10^{17} bis 10^{19} cm^{-3} und die Schichtdicke ist etwa 2 bis 100 nm. Der Gate-Anschluß des HEMT 18 kontaktiert die p-leitende Halbleiterschicht 1. Source- und Drain-Anschluß 9,10 sind analog Ausführungsbeispiel 1 auf n-leitenden Gebieten 8,8a aufgebracht. Eine erste Elektrode 13 der PIN-Photodiode 17 kontaktiert die p-leitende Halbleiterschicht 1 und die zweite Elektrode 12 bzw. 12b ist je nach Mesa- oder planarer Bauform des Photoempfängers entsprechend den Ausführungsbeispielen 1 oder 2 angeordnet. In Fig. 5 ist eine planare Anordnung von PIN-Photodiode 17 und HEMT 18 für die im Ausführungsbeispiel 3 angegebene Heterostruktur gezeigt. Die Steuerung von PIN-Photodiode 17 und HEMT 18 erfolgt durch einen p/n-Übergang, der durch die p-dotierte Halbleiterschichten 1 und die n-dotierte Halbleiterschicht 2 gebildet wird.

Im Ausführungsbeispiel 4 sind auf einem halbsolierenden Substrat 6

-eine erste p-dotierte Halbleiterschicht 5 aus InAlAs oder InAlAsP oder InGaAsP oder InP mit einer Ladungsträgerkonzentration von 10^{17} bis $5 \cdot 10^{18} \text{ cm}^{-3}$ und einer Schichtdicke von 0,2 bis 2 μm und

-eine p-dotierte Halbleiterschicht 4 aus InAlAs oder InAlAsP oder InGaAsP mit einer Ladungsträgerkonzentration von 10^{15} bis 10^{17} cm^{-3} und einer Schichtdicke von 0,2 bis 2 μm

aufgewachsen.

Die weiteren Halbleiterschichten 1 bis 3 sind analog Ausführungsbeispiel 1 gewählt. Fig. 6 zeigt eine planare Anordnung von PIN-Photodiode 17 und HEMT 18 mit in diesem Falle p-leitendem Wellenleiter 16 gemäß einer Heterostruktur laut Ausführungsbeispiel 4.

Die erste Elektrode 13 der PIN-Photodiode 17 ist auf der n-leitenden Halbleiterschicht 1 aufgebracht. Die zweite Elektrode 12b der PIN-Photodiode 17 ist über ein p-leitendes Gebiet 22a mit der p-leitenden Halbleiterschicht 5 verbunden. Der steuernde p/n-Übergang der PIN-Photodiode 17 wird durch die n-dotierte Halbleiterschichten 3 und die p-dotierte Halbleiterschicht 4 erzeugt.

Source und Drain-Anschluß 9, 10 des HEMT 18 kontaktieren die n-leitende Halbleiterschicht 1. Im Bereich des Gate-Anschlusses 11 des HEMT 18 ist die n-dotierte Halbleiterschicht 1 weggeätzt und der sperrende metallische Kontakt ist auf die n-dotierte Halbleiterschicht 2 aufgebracht.

Die Isolierung von PIN-Photodiode 17 und HEMT 18 in der planaren Anordnung wird durch Ionen-implantierte (z.B. mit Fe) oder geätzte und anschließend mit z.B. Polyimid aufgefüllten Gebieten 21, 21a erreicht.

Die aus der Heterostruktur-Halbleiterschichtenfolge gemäß Ausführungsbeispiel 4 aufgebaute PIN-Photodiode 17 und der HEMT 18 können auch in Mesabauweise angeordnet sein.

In allen Ausführungsbeispielen sind die Elektroden 12, 12b, 13 der PIN-Photodiode 17 und die elektrischen Anschlüsse 9, 10, 11 des HEMT 18 metallische Kontakte aus z.B. einer Au/Ge- oder Au/Zn-Legierung. Die elektrischen Kontakte der einzelnen Bauelemente des Photoempfängers können beispielsweise über metallische Leiterbahnen in geeigneter Weise miteinander verknüpft werden.

Die Oberfläche des Photoempfängers ist vorteilhafterweise mit einer Oxidschicht 14 überzogen, die als Passivierungsschicht und/oder als Implantationsfenster sowie für die Kontaktstrukturierung geeignet ist.

Für die p-Dotierung verwendete Materialien sind beispielsweise Be, Mg oder Zn und für die n-Dotierung Si, S oder Sn.

Zur Verbesserung der Sperreigenschaften des Gate-Anschlusses 11 ist es vorteilhaft, die Dotierung der n-dotierten Halbleiterschicht 2 in vertikaler Richtung zu variieren, derart, daß die Dotierkonzentration zur Halbleiterschicht 1 auf Null abnimmt.

PIN-HEMT-Photoempfänger ohne integrierten Wellenleiter aber mit einer ähnlichen elektronischen Signalverarbeitung wie in den Ausführungsbeispielen 3 und 4 sind in den nicht veröffentlichten Patentanmeldungen P 36 29 681 und P 36 29 684 beschrieben.

Monolithisch integrierte Photoempfänger gemäß der Erfindung lassen sich mit Hilfe der Molekularstrahl-Epitaxie oder der chemischen Gasphasen-Epitaxie aus metallorganischen Verbindungen herstellen.

Die Erfindung ist nicht auf die beschriebenen Ausführungsbeispiele beschränkt, sondern sinngemäß auf weitere anwendbar. Zum Beispiel kann das Substrat 6 aus n- oder p-leitendem InP oder Si bestehen, auf dem eine undotierte Pufferschicht aus InP aufgebracht ist. Die Pufferschicht begrenzt Kristalldefekte im wesentlichen auf die Grenzfläche Substrat/Pufferschicht. Weiterhin können die Pufferschicht, die n-dotierte Halbleiterschichten 2, und die undotierte Halbleiterschicht 2a der in den Ausführungsbeispielen beschriebenen Heterostruktur als Übergitter aufgebaut sein. Geeignete Materialien zur Bildung eines entsprechenden Übergitters sind z.B. InAs/InP oder GaAs/InGaAsP oder GaP/InGaAsP.

Ansprüche

1. Monolithisch integrierter Photoempfänger, bestehend aus einer auf einem Substrat aufgetragenen Heterostruktur-Halbleiterschichtenfolge, die zumindest eine PIN-Photodiode und mindestens einen zugehörigen Verstärker enthält, dadurch gekennzeichnet,

-daß das eingestrahlte Licht in einem monolithisch integrierten optischen Wellenleiter (16) an die PIN-Photodiode (17) herangeführt wird,

-daß der Wellenleiter (16) zumindest eine lichtführende Halbleiterschicht (4) besitzt, die als Bestandteil der PIN-Photodiode (17) ausgebildet ist,

-daß auf einem Substrat (6) zunächst eine erste Halbleiterschicht (5) aufgebracht ist, die einen kleineren Brechungsindex als die lichtführende Halbleiterschicht (4) besitzt,

-daß auf der ersten Halbleiterschicht (5) zumindest der Wellenleiter (16) und die PIN-Photodiode (17) aufgebaut sind, und

-daß die erste Halbleiterschicht (5) als Bestandteil der PIN-Photodiode (17) ausgebildet ist.

2. Monolithisch integrierter Photoempfänger nach einem der vorhergehenden Ansprüche, dadurch gekennzeichnet, daß der zur PIN-Photodiode (17) zugehörige monolithisch integrierte Verstärker aus mindestens einem HEMT (18) besteht.

3. Monolithisch integrierter Photoempfänger nach einem der vorhergehenden Ansprüche, dadurch gekennzeichnet, daß auf dem Substrat (6) eine Heterostruktur-Halbleiterschichtenfolge aus einer ersten, n-dotierten Halbleiterschicht (5), einer n-dotierten Halbleiterschicht (4), einer undotierten oder lediglich n-dotierten Halbleiterschicht

(3), einer undotierten Halbleiterschicht (2a), einer n-dotierten Halbleiterschicht (2) und einer n-dotierten Halbleiterschicht (1) aufgewachsen ist.

4. Monolithisch integrierter Photoempfänger nach einem der vorhergehenden Ansprüche, dadurch gekennzeichnet,

-daß die n-dotierte Halbleiterschicht (1) im Bereich des Gate-Anschlusses (11) entfernt ist, und
-daß der Gate-Anschluß (11) des HEMT (18) die n-dotierte Halbleiterschicht (2) kontaktiert. (Fig. 3)

5. Monolithisch integrierter Photoempfänger nach einem der vorhergehenden Ansprüche 1 bis 3, dadurch gekennzeichnet, daß die n-dotierte Halbleiterschicht (1) im Bereich des HEMT (18) ein p-implantiertes Gebiet (7a) enthält auf dem der Gate-Anschluß (11) des HEMT(18) aufgebracht ist. (Fig. 4)

6. Monolithisch integrierter Photoempfänger nach einem der vorhergehenden Ansprüche, dadurch gekennzeichnet,

-daß im Bereich der PIN-Photodiode (17) die n-dotierte Halbleiterschicht (1), die n-dotierte Halbleiterschicht (2) und die undotierte Halbleiterschicht (2a) entfernt sind, und
-daß die n-dotierte Halbleiterschicht (3) der PIN-Photodiode (17) ein p-implantiertes Gebiet (7) enthält, auf dem eine erste Elektrode (13) aufgebracht ist.

7. Monolithisch integrierter Photoempfänger nach einem der Ansprüche 1 bis 2, dadurch gekennzeichnet,

-daß auf dem Substrat (6) eine Heterostruktur-Halbleiterschichtenfolge aus einer ersten, n-dotierten Halbleiterschicht (5), einer n-dotierten Halbleiterschicht (4), einer undotierten oder lediglich n-dotierten Halbleiterschicht (3), einer undotierten Halbleiterschicht (2a), einer n-dotierten Halbleiterschicht (2) und einer p-dotierten Halbleiterschicht (1) aufgewachsen ist,
-daß der Gate-Anschluß (11) des HEMT (18) die p-dotierte Halbleiterschicht (1) kontaktiert, und
-daß eine erste Elektrode (13) der PIN-Photodiode (17) auf die p-dotierte Halbleiterschicht (1) aufgebracht ist. (Fig. 5)

8. Monolithisch integrierter Photoempfänger nach einem der vorhergehenden Ansprüche, dadurch gekennzeichnet, daß der Source-und Drain-Anschluß (9,10) des HEMT (18) auf n-implantierten Gebieten (8,8a) aufgebracht sind, die senkrecht zu den Halbleiterschichten (1,2,2a) verlaufen und bis in die n-dotierte Halbleiterschicht (3) reichen.

9. Monolithisch integrierter Photoempfänger nach einem der Ansprüche 1 bis 2, dadurch gekennzeichnet,

- daß auf dem Substrat (6) eine Heterostruktur-Halbleiterschichtenfolge aus einer ersten, p-dotierten Halbleiterschicht (5), einer p-dotierten

Halbleiterschicht (4), einer undotierten oder lediglich n-dotierten Halbleiterschicht (3), einer undotierten Halbleiterschicht (2a), einer n-dotierten Halbleiterschicht (2) und einer n-dotierten Halbleiterschicht (1) aufgebracht ist,

-daß die n-dotierte Halbleiterschicht (1) im Bereich des Gate-Anschlusses (11) entfernt ist,

- daß der Gate-Anschluß (11) des HEMT (18) die n-dotierte Halbleiterschicht (2) kontaktiert,

-daß Source-und Drain-Anschluß (9,10) des HEMT (18) die n-dotierte Halbleiterschicht (1) kontaktieren, und

-daß eine erste Elektrode (13) der PIN-Photodiode (17) auf die n-dotierte Halbleiterschicht (1) aufgebracht ist. (Fig. 6)

10. Monolithisch integrierter Photoempfänger nach einem der vorhergehenden Ansprüche, dadurch gekennzeichnet, daß PIN-Photodiode (17) und HEMT (18) in Mesabauweise angeordnet sind,

11. Monolithisch integrierter Photoempfänger nach einem der Ansprüche 1 bis 6 und Anspruch 8, dadurch gekennzeichnet, daß PIN-Photodiode (17) und HEMT (18) quasioptisch angeordnet sind. (Fig. 4)

12. Monolithisch integrierter Photoempfänger nach einem der Ansprüche 1 bis 2 und den Ansprüchen 7 bis 9, dadurch gekennzeichnet, daß PIN-Photodiode (17) und HEMT (18) planar angeordnet sind. (Fig. 5 und Fig. 6).

13. Monolithisch integrierter Photoempfänger nach einem der Ansprüche 1 bis 9 und den Ansprüchen 11 und 12, dadurch gekennzeichnet, daß PIN-Photodiode (17) und HEMT (18) durch ein Isolationsgebiet (21a) getrennt sind, das senkrecht zu den Halbleiterschichten verläuft und bis ins Substrat(6) reicht.

14. Monolithisch integrierter Photoempfänger nach einem der vorhergehenden Ansprüche, dadurch gekennzeichnet,

-daß die n-dotierte Halbleiterschicht (3) der PIN-Photodiode (17) als optische Absorptionsschicht für das im optischen Wellenleiter (16) geführte Licht ausgebildet ist, und

-daß die n-dotierte Halbleiterschicht (3) einen größeren Brechungsindex als die lichtführende Halbleiterschicht (4) besitzt.

15. Monolithisch integrierter Photoempfänger nach einem der vorhergehenden Ansprüche, dadurch gekennzeichnet, daß die erste Halbleiterschicht (5) sowohl als lichtbegrenzende Halbleiterschicht des Wellenleiters (16) sowie als Kontaktschicht für die zweite Elektrode (12, 12b) der PIN-Photodiode (17) ausgebildet ist.

16. Monolithisch integrierter Photoempfänger nach einem der Ansprüche 1 bis 14, dadurch gekennzeichnet,

-daß zwischen die lichtführende Halbleiterschicht (4) und die absorbierende Halbleiterschicht (3) eine

n-dotierte Halbleiterschicht (3a) eingebracht ist, die einen Bandabstand besitzt, der zwischen dem der lichtführenden Halbleiterschicht (4) und dem der absorbierenden Halbleiterschicht (3) liegt, und -daß eine zweite Elektrode (12, 12b) die n-dotierte Halbleiterschicht (3a) kontaktiert.

17. Monolithisch integrierter Photoempfänger nach einem der vorhergehenden Ansprüche, dadurch gekennzeichnet, daß die Halbleitermaterialien der Heterostruktur-Halbleiterschichtenfolge so gewählt sind, daß der Wellenlängenbereich λ des Photoempfängers zwischen $0,8 \leq \lambda \leq 1,5 \mu\text{m}$ liegt.

5

10

15

20

25

30

35

40

45

50

55

7

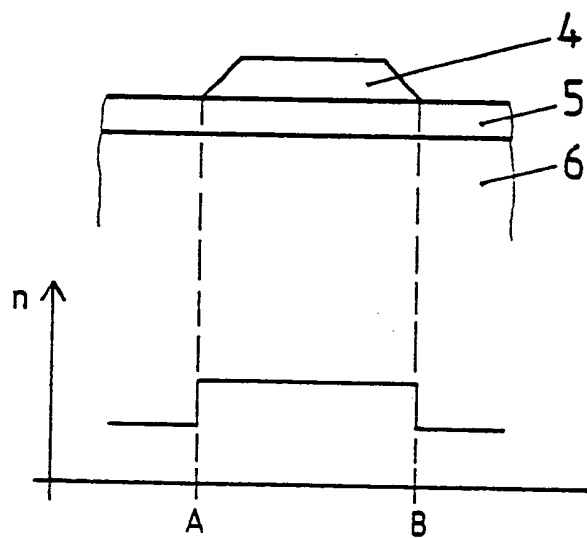


FIG. 1a

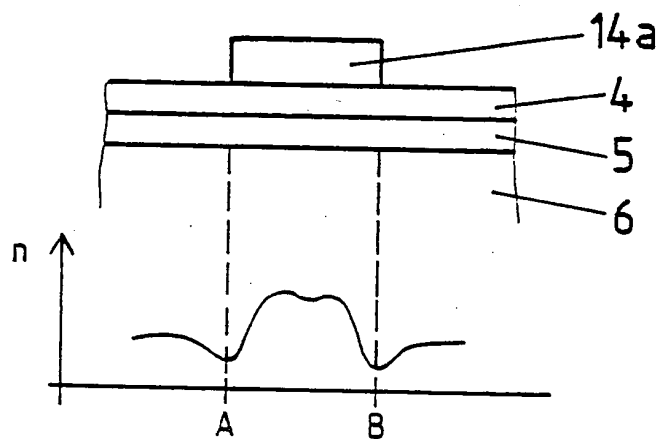


FIG. 1b

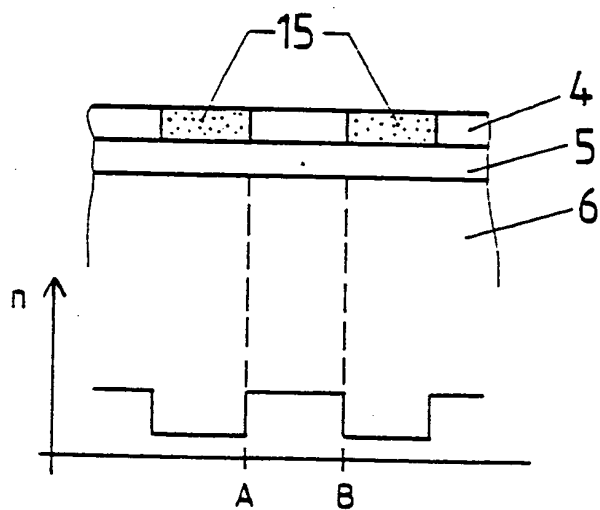
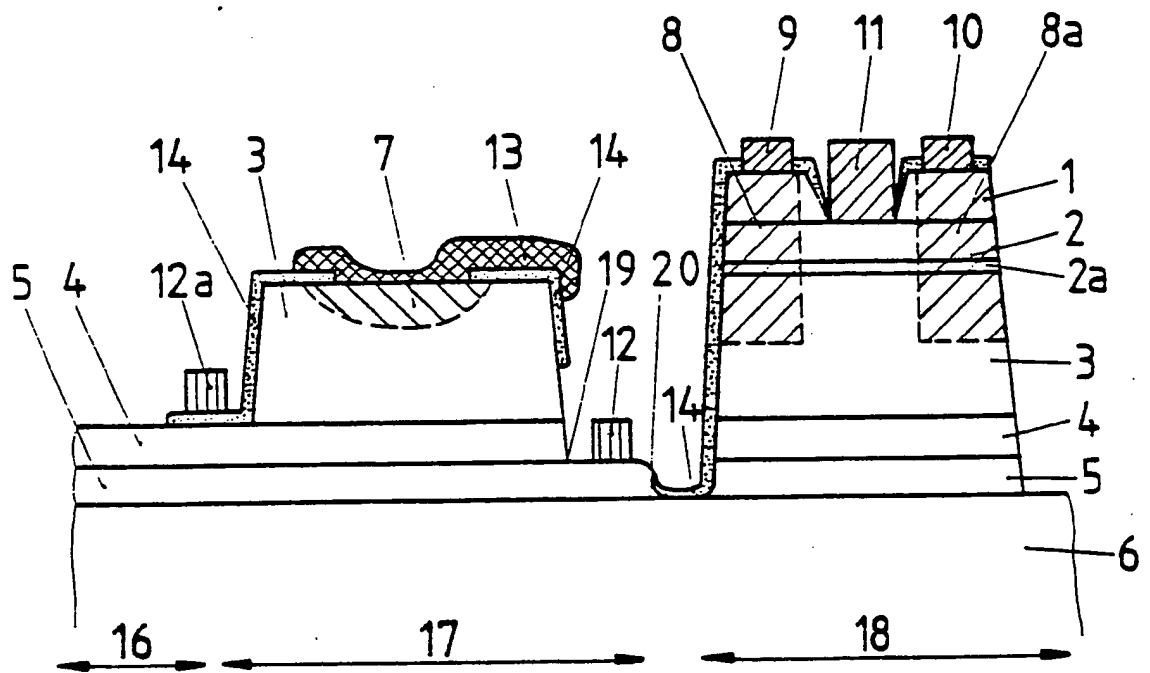
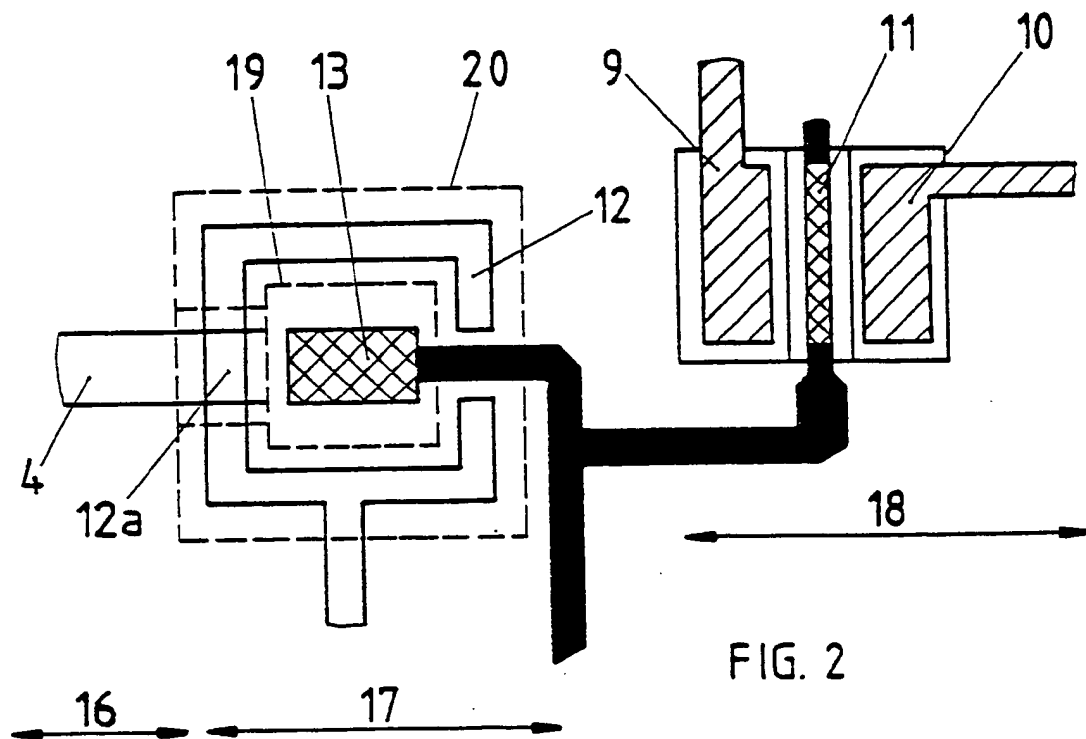


FIG. 1c



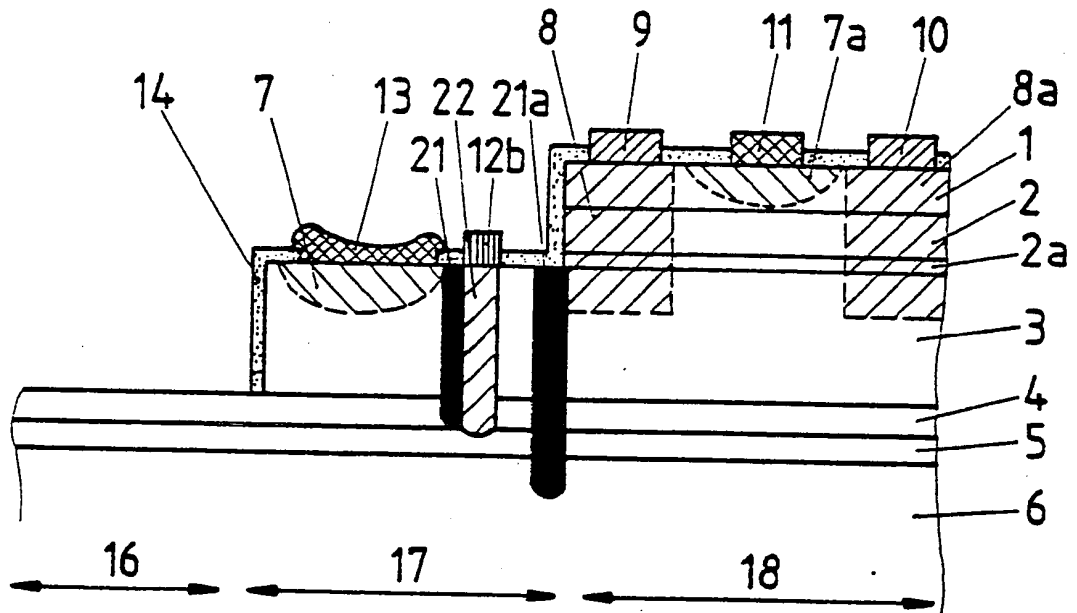


FIG. 4

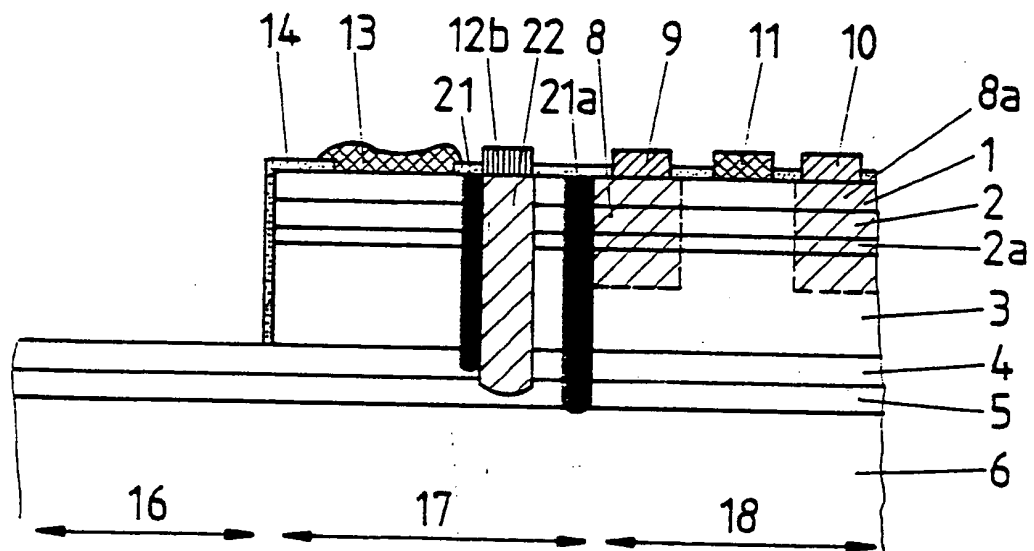


FIG. 5

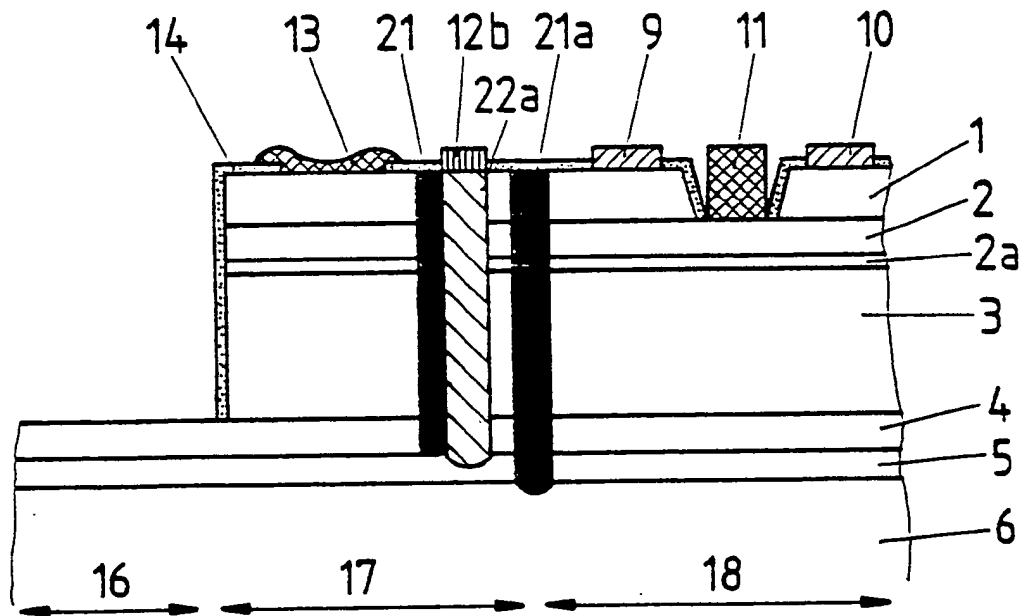


FIG. 6

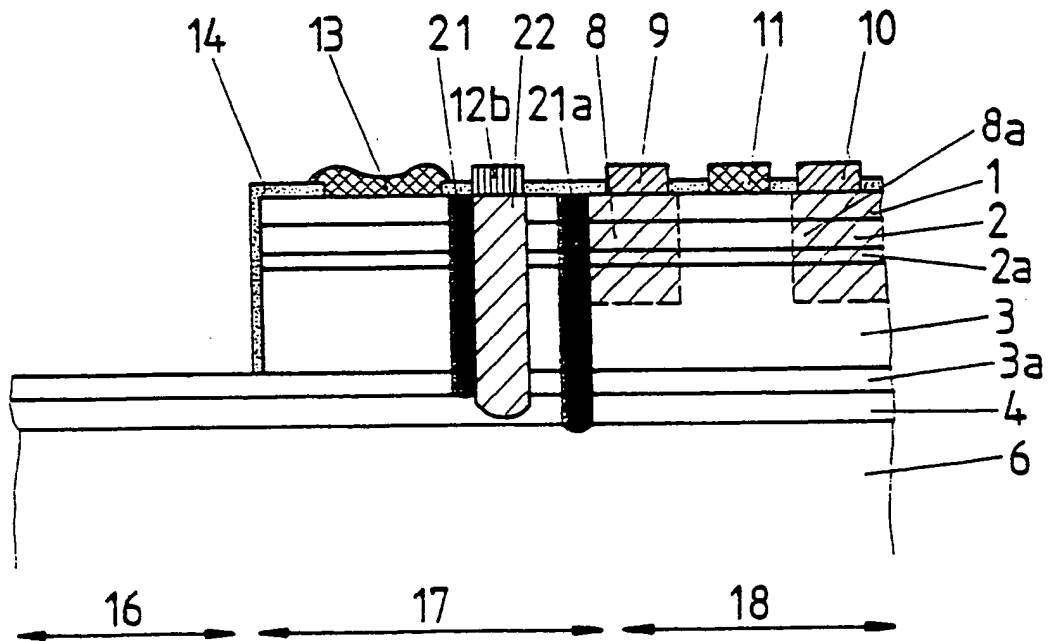


FIG. 7



Europäisches
Patentamt

EUROPÄISCHER RECHERCHENBERICHT

Nummer der Anmeldung

EP 87 11 3672

EINSCHLÄGIGE DOKUMENTE			
Kategorie	Kennzeichnung des Dokuments mit Angabe, soweit erforderlich, der maßgeblichen Teile	Betrifft Anspruch	KLASSIFIKATION DER ANMELDUNG (Int. CL.4)
Y	US-A-4 136 928 (R.A. LOGAN et al.) * Abbildung; Spalte 3, Zeile 1 - Spalte 4, Zeile 20 *	1	H 01 L 27/14 G 02 B 6/12 H 01 L 31/02
A	---	14	
Y	EP-A-0 133 709 (DEUTSCHE ITT INDUSTRIES GmbH) * Abbildung 1; Ansprüche 1,2,5 *	1	
A	---	2,7,10	
A	APPLIED PHYSICS LETTERS, Band 46, Nr. 7, 1. April 1985, Seiten 681-683, American Institute of Physics, New York, US; C.Y. CHEN et al.: "Monolithic integrated receiver front end consisting of a photoconductive detector and a GaAs selectively doped heterostructure transistor" * Abbildung 1; Seite 681, linke Spalte, Zeilen 28-38 *	1,3,4,7,9,10	
A	PATENT ABSTRACTS OF JAPAN, Band 7, Nr. 190 (E-194) [1335], 19. August 1983; & 58 92 259 (FUJITSU K.K.) 01-06-1983	1,6,10	RECHERCHIERTE SACHGEBIETE (Int. CL.4) H 01 L G 02 B
A	INTERNATIONAL ELECTRON DEVICES MEETING, Washington, D.C., 5. - 7. Dezember 1983, Seiten 689-691, IEEE, New York, US; C. DUBON et al.: "Double heterojunction GaAs-GaAlAs bipolar transistors grown by MOCVD for emitter coupled logic circuits" * Abbildung 1 *	8	
A	EP-A-0 064 829 (FUJITSU K.K.) * Abbildung 3; Seite 12, Zeilen 1-14 * -/-	13	
Der vorliegende Recherchenbericht wurde für alle Patentansprüche erstellt			
Recherchenort DEN HAAG		Abschlußdatum der Recherche 02-12-1987	
		Prüfer CARDON A.	
KATEGORIE DER GENANNTEN DOKUMENTE			
X : von besonderer Bedeutung allein betrachtet Y : von besonderer Bedeutung in Verbindung mit einer anderen Veröffentlichung derselben Kategorie A : technologischer Hintergrund O : nichtschriftliche Offenbarung P : Zwischenliteratur		T : der Erfindung zugrunde liegende Theorien oder Grundsätze E : älteres Patentdokument, das jedoch erst am oder nach dem Anmeldedatum veröffentlicht worden ist D : in der Anmeldung angeführtes Dokument L : aus andern Gründen angeführtes Dokument & : Mitglied der gleichen Patentfamilie, übereinstimmendes Dokument	

EPO FORM 1503 01.82 (P/403)



Europäisches
Patentamt

EUROPÄISCHER RECHERCHENBERICHT

Seite 2

Nummer der Anmeldung

EP 87 11 3672

EINSCHLÄGIGE DOKUMENTE			
Kategorie	Kennzeichnung des Dokuments mit Angabe, soweit erforderlich, der maßgeblichen Teile	Betrifft Anspruch	KLASSIFIKATION DER ANMELDUNG (Int. Cl.4)
A	APPLIED PHYSICS LETTERS, Band 47, Nr. 3, 1. August 1985, Seiten 186-187, American Institute of Physics, New York, US; K. HIRUMA et al.: "Low loss GaAs optical waveguides grown by the metalorganic chemical vapor deposition method" * Abbildung 1 * ---	1	
A	CA-A- 980 451 (NORTHERN ELECTRIC CO.) * Abbildung 1; Anspruch 1 * -----	1	
Der vorliegende Recherchenbericht wurde für alle Patentansprüche erstellt			RECHERCHIERTE SACHGEBIETE (Int. Cl.4)
Recherchenort DEN HAAG		Abschlußdatum der Recherche 02-12-1987	Prüfer CARDON A.
KATEGORIE DER GENANNTEN DOKUMENTE X : von besonderer Bedeutung allein betrachtet Y : von besonderer Bedeutung in Verbindung mit einer anderen Veröffentlichung derselben Kategorie A : technologischer Hintergrund O : mündliche Offenbarung P : Zwischenliteratur T : der Erfindung zugrunde liegende Theorien oder Grundsätze E : älteres Patentedokument, das jedoch erst am oder nach dem Anmeldedatum veröffentlicht worden ist D : in der Anmeldung angeführtes Dokument L : aus andern Gründen angeführtes Dokument ----- & : Mitglied der gleichen Patentfamilie, übereinstimmendes Dokument			

EPO FORM 1503 03.82 (P0401)

